



**PHOTOELASTICITY APPLICATION FOR CHIP FORMATION EXPERIMENTAL RESEARCH**

**UŽITÍ FOTOELASTICIMETRIE K EXPERIMENTÁLNÍMU VÝZKUMU TVORBY TŘÍSKY**

Humen V., Breuerová H.

In the paper the authors attempted to find a correlation between fracture toughness and machinability of the machined material. Experiments carried out on the optically sensitive polymer materials (celluloid, PMMA and epoxy-resin) give evidence of existence of this correlation.

**Keywords:** photoelasticity, machinability, fracture toughness

### 1. Úvod

Obrobiteľnosť materiálov je nutno posuzovať ako relativně složitý proces [1], ve kterém dochází k interakci obráběného materiálu s nástrojem. Tuto interakci lze chápat jako proces tvorby třísky, tj. proces oddělování materiálu obrobku nástrojem. Byla předložena řada teoretických modelů tvorby třísky [2], v nichž se však předpokládá, že oddělování materiálu třísky od povrchu obrobku se děje skluzovým mechanismem, tj. bez lomu. Ukazuje se však [3], že odrezávání vrstvy materiálu řezným nástrojem je vždy spojeno se vznikem trhlin u ostří řezného nástroje. V provedených experimentech se autoři pokusili o nalezení vztahu mezi obrobiteľností materiálu a lomovými charakteristikami obráběného opticky citlivého polymerního materiálu. Volba zmíněného materiálu byla dána užitou experimentální metodou (fotoelasticimetrií) umožňující zobrazení napjatosti v blízkém okolí ostří nástroje.

## 2. Testovaný materiál a použité experimentální zařízení

V provedených experimentech byly testovány polymerní materiály výrazně se lišící lomovou houževnatostí. V tab.1 jsou uvedeny hodnoty kříč stanovené podle normy ČSN 64 06 05. Ve zmíněné tabulce jsou též uvedeny aplikované řezné podmínky.

Sestava experimentálního zařízení je uvedena na obr.1. Prvky zařízení jsou shodné s prvky pro běžný fotoelasticimetrický experiment. Polariskop byl sestaven tak, aby byly zachyceny pouze izochromaty polovičního řádu. K osvětlení děje byl použit fotoblesk. Zařízení pracovalo na principu synchronní fotografie. Typické dosažené fotozáznamy tvorby třísky na obrobku z celuloidu jsou uvedeny na obr. 2 až 4.

## 3. Vyhodnocení fotoelasticimetrického záznamu tvorby třísky

Předpokládáme-li, že oddělování třísky je lomovým procesem, pak podle fotozáznamu lze soudit, že sledovaný děj je pravděpodobně lomový proces typu II. Rovnice popisující stav napjatosti v okolí kořene trhliny typu II lze psát ve tvaru [4].

$$\sigma_x = - \frac{1}{\sqrt{(2\pi r)}} \left[ K_{II} \sin \frac{\theta}{2} \left( 2 + \frac{\cos \theta}{2} \cdot \cos \frac{3\theta}{2} \right) \right] - \sigma_{ox}$$

$$\sigma_x = + \frac{1}{\sqrt{(2\pi r)}} \left[ K_{II} \sin \frac{\theta}{2} \cos \frac{\theta}{2} \cdot \cos \frac{3\theta}{2} \right]$$

$$\tau_{xy} = + \frac{1}{\sqrt{(2\pi r)}} \left[ K_{II} \cos \frac{\theta}{2} \left( 1 - \sin \frac{\theta}{2} \cdot \sin \frac{3\theta}{2} \right) \right]$$

kde  $r$  a  $\theta$  jsou polární souřadnice s počátkem v kořeni trhliny,  $\sigma_{ox}$  je přídavné napětí ve směru šíření trhliny. Prostřednictvím uvedeného napěťového modelu byly vyhodnoceny pouze fotozáznamy dosažené na obrobku z celuloidu (Tab.2). Aplikace napěťového modelu na vyhodnocení fotozáznamu na obrobku z PMMA nebyla možná vzhledem k nedostatečnému počtu izochromát (malá optická citlivost). V případě obrobku z epoxy pryskyřice docházelo v okolí ostří nástroje ke vzniku několika

trhlin. V tomto případě není uvedený model napěťový model adekvátním popisem napjatosti.

#### **4. Diskuse dosažených výsledků**

Provedené experimenty ukázaly, že obrobiteľnosť materiálu je v korelaci s velkosťou lomové houževnatosti obrábeneho materiálu. Špatně obrobiteľným materiálem pro všechny úhly čela nástroje byla epoxy pryskyřice, ktorá má z testovaných materiálov nejnižšiu lomovou houževnatosť ( $K_{IC} = 0.5 \text{ MPa m}^{1/2}$ ). Dobре обробитељним материјалом при свим угловима врата ножа је епокси прах, који има из тестованих материјала најнижу ломову хугешнатост ( $K_{IC} = 0.5 \text{ MPa m}^{1/2}$ ). Dobře obrobiteľným materiálem při všech úhlech čela nástroje byl celuloid, jehož lomová houževnatost je cca 5x vyšší než lomová houževnatost epoxy pryskyřice. Materiál PMMA se střední lomovou houževnatostí vzhledem k předešlým materiálům bylo možné obrábět pouze nástroji s úhlem čela větším než  $0^\circ$ . Pro nástroje s úhlem čela menším než  $0^\circ$  docházelo ke vzniku více trhlin v okolí ostří nástroje. Tímto pak docházelo k vylamování materiálu a obrobenej povrch byl výrazne drsný.

#### **Literatura**

- [1] BUMBÁLEK,B.: Metodika sestavování modelu obrobiteľnosti materiálu na základě jeho strukturně mechanických vlastností. Strojírenství 37, 1987, č. 8, s. 447-449.
- [2] BUDA,J.- SOUČEK,J.- VASILKO,K.: Teoria obrábania, Alfa Bratislava - SNTL Praha 1983.
- [3] KAVALCOVÁ,L.: Některé výsledky studia lomových vlastností ocelí při obrábění. Strojírenství 36, 1986, č. 10, s. 589-592
- [4] KOBAYASHI, A.S. (ed.): Experimental Techniques in Fracture Mechanics, Iowa State Press, 1974.

Ing. Vladimír Humen, CSc.

Vysoká škola strojní a textilní, katedra mechaniky a pružnosti, Liberec, ČSFR. Tel. (048)21847

Ing. Hana Breuerová

Vysoká škola strojní a textilní, katedra obrábění a montáže, Liberec, ČSFR. Tel. (048)25441

Tab.1:

Obrobek	s mm	K <sub>IC</sub> MPa m <sup>1/2</sup>	d deg	$\gamma$ deg	v ot/min	h mm
Celuloid	6.2	2.4	-20	10.3	63	1.25
			0	10.3	63	
			10	10.2	63	
PMMA	10.5	1.7	-20	10.3	63	1.25
			0	10.3	63	
			10	10.2	63	
Epoxy	9.8	0.5	-20	10.3	63	1.25
			0	10.3	63	
			10	10.2	63	

s - tloušťka modelu

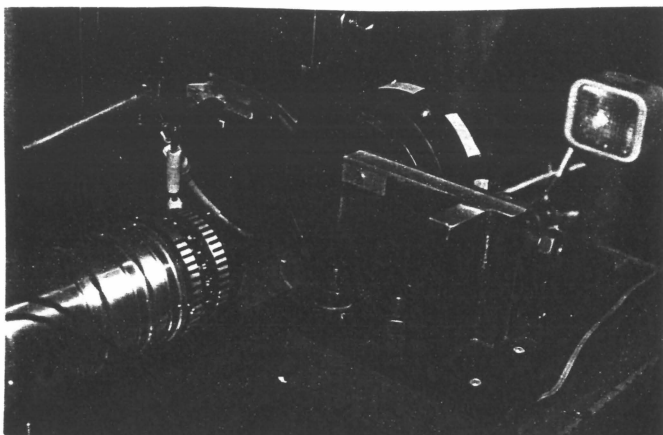
K<sub>IC</sub> - lomová houževnatostd - úhel čela,  $\gamma$  - úhel hřbetu

v - řezná rychlosť na frézce v ot/min

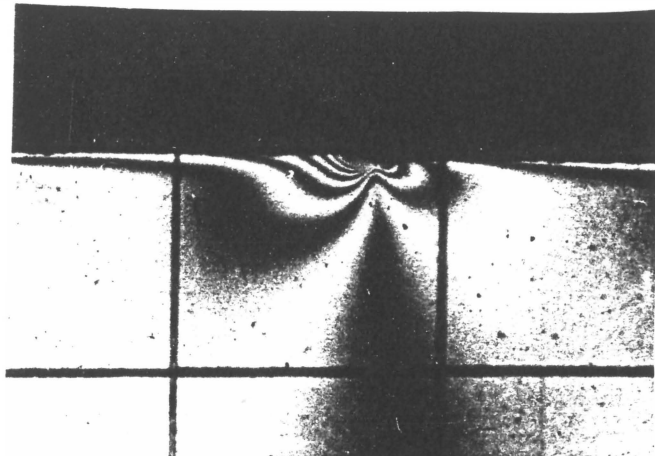
h - hloubka řezu

Tab.2:

Obrobek	d deg	K <sub>II</sub>	$\sigma_{ox}$
		MPa m <sup>1/2</sup>	MPa
Celuloid	-20	0.67	-7.3
	0	1.04	-14.7
	+10	1.04	-10.3



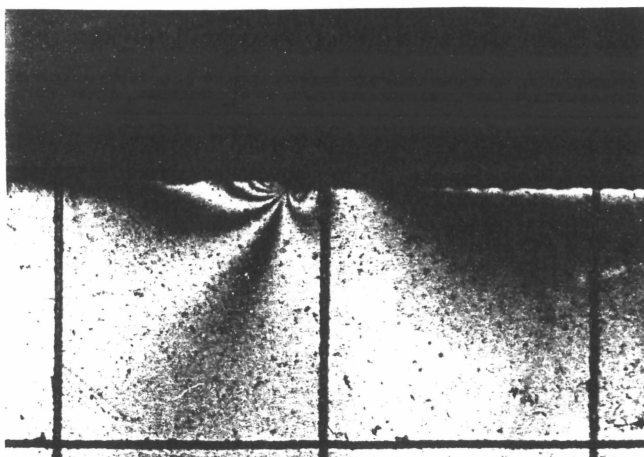
J. Čížek.



Obr. 2  
 $\alpha = -20^\circ$



Obr. 3  
 $\alpha = 0^\circ$



Obr. 4  
 $\alpha = +10^\circ$